

神戸市調査室の正金員 島田 春十郎
三菱重工業神戸造船所 正会員 木 長 泰

1 はしがき

吊橋の設計計算は *Stainman* や *Peery* の解法で代表される *Deflection Theory* で行なわれているがその着想は非常にすぐれており、吊橋を張力ばかりにおさかたの曲げモーメント、せん断力、たねみ等がすべて差分方程式から出発した簡易な数式で表わされるので、電子計算機による数値計算も容易である。上記の方法では、ケーブルの水平張力が解析の重要な *Factor* になるのであるが、実際に補剛桁に作用するのは活荷重と吊杖の不静定上揚力形だけである。

そこで著者は、その不静定吊杖力を直接未知数において解を求めようと試みた。ここでは活荷重載荷時と温度変化のみを対象とし、基本系では非常に大きな初期張力によって平衡状態を保持しているものとする。この初期張力と強制的な平衡状態と考慮する事は、通常の平面構造系理論と解析条件を異にさせる。

本法の特徴は *Free Cable* と補剛桁のたねみ影響線マトリックスとそれぞれ独立して求め、両者の関連において吊杖力を求めることにあり、解析は初期張力を仮定する際に行われる、すべて静定方程式として取扱うことができる。なお、本法では補剛桁の構造が連続、非連続あるいは等、不等断面のいずれの場合にも容易に解析できるという利点を有している。

本文中では、解析方法を述べるとともに、設計条件を仮定し、数値計算を行なったため、これらを報告したい。

2 初期張力を有する *Free Cable* の解析

初期張力 T_i によって平衡している *Cable Element* l_i に外力 $(\Delta X_i, \Delta Y_i)$ および $(\Delta X_{i+1}, \Delta Y_{i+1})$ が作用して、杖端はそれぞれ $(\Delta X_i, \Delta Y_i)$ および $(\Delta X_{i+1}, \Delta Y_{i+1})$ なる変位を生じたものとする。(図-1)

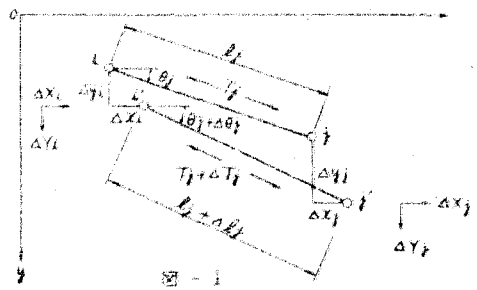


図-1

初期張力 T_i は図-2に示すように、初期死荷重 W_i に

起因するものとするれば、1 杖についての平衡方程式はつぎのようになる。

$$(T_i + \Delta T_i) \cos(\theta_i + \Delta \theta_i) = (T_{i+1} + \Delta T_{i+1}) \cos(\theta_{i+1} + \Delta \theta_{i+1}) + \Delta X_i \quad (1)$$

$$(T_i + \Delta T_i) \sin(\theta_i + \Delta \theta_i) = (T_{i+1} + \Delta T_{i+1}) \sin(\theta_{i+1} + \Delta \theta_{i+1}) + W_i + \Delta Y_i \quad (2)$$

ここに

$$\cos(\theta_i + \Delta \theta_i) = \{(x_i + \Delta x_i) - (x_{i-1} + \Delta x_{i-1})\} / (l_i + \Delta l_i) \quad (3)$$

$$\sin(\theta_i + \Delta \theta_i) = \{(y_i + \Delta y_i) - (y_{i-1} + \Delta y_{i-1})\} / (l_i + \Delta l_i) \quad (4)$$

幾何学的関係から、

$$\Delta l_i = \{(\Delta x_i - \Delta x_{i-1}) (x_i - x_{i-1})\} / l_i + \{(\Delta y_i - \Delta y_{i-1}) (y_i - y_{i-1})\} / l_i \quad (5)$$

ケーブルの断面積を A 、ヤング率を E とおけば

$$\Delta T_i = (AE/l_i) \Delta l_i \quad (6)$$

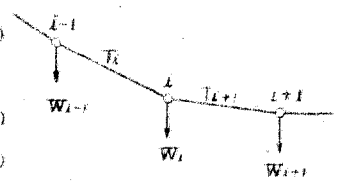


図-2

い、定数をつぎのように規定する。

$$Z_i = T_i / l_i \text{-----}(7) \quad F_i = \{(x_i - x_{i-1})^2 (AE - T_i)\} / l_i^3 \text{-----}(8)$$

$$G_i = \{(x_i - x_{i-1})(y_i - y_{i-1})(AE - T_i)\} / l_i^3 \text{-----}(9) \quad H_i = \{(y_i - y_{i-1})^2 (AE - T_i)\} / l_i^3 \text{-----}(10)$$

ケーブルは初期の釣合い状態では つぎのよう関係にある

$$T_i (x_i - x_{i-1}) / l_i = T_{i+1} (x_{i+1} - x_i) / l_{i+1} \text{-----}(11) \quad T_i (y_i - y_{i-1}) / l_i = T_{i+1} (y_{i+1} - y_i) / l_{i+1} + W l_i \text{-----}(12)$$

式(3)、(4)において 道似的に $1/(l + \Delta l) \approx (1 - \Delta l/l)/l$ -----(13) とおく。

式(3)~(13)を用いて、式(1)、(2)を変形し、2次以上の微小量を省略すると、つぎのよう式を得る。

$$-(Z_i + F_i) \Delta x_{i-1} + (Z_i + F_i + Z_{i+1} + F_{i+1}) \Delta x_i - (Z_{i+1} + F_{i+1}) \Delta x_{i+1} - G_i \Delta y_{i-1} + (G_i + G_{i+1}) \Delta y_i - G_{i+1} \Delta y_{i+1} = \Delta X_i \text{-----}(14)$$

$$-G_i \Delta x_{i-1} + (G_i + G_{i+1}) \Delta x_i - G_{i+1} \Delta x_{i+1} - (Z_i + H_i) \Delta y_{i-1} + (Z_i + H_i + Z_{i+1} + H_{i+1}) \Delta y_i - (Z_{i+1} + H_{i+1}) \Delta y_{i+1} = \Delta Y_i \text{-----}(15)$$

支保条件は端部固定端において、 $\Delta x = 0, \Delta y = 0$ -----(16)

中間部で Flexible なタワーに支持されている場合は、 $\Delta y = 0$ -----(17)

式(16)、(17)の支保条件を考慮し、式(14)、(15)を順次配列していくこと、ケーブルの方程式が得られる。

3. 活荷重作用時における吊橋の解析

補剛桁の任意處に活荷重 P が載荷されたとき、吊杖には不静定力 Q を生じてケーブルに応力が伝達される。いま、吊杖自身の変形はケーブルおよび補剛桁のそれに比して非常に小さいとして無視することにする。ケーブルの i 處とそれに対応する補剛桁の i' 處の最終的な変位は相等しい関係にある。ケーブルの i 處に単位力が作用したときの i 處のたわみを u_{ij} に表わし、補剛桁の j' 處に単位載荷したときの i' 處のたわみを $v_{ij'}$ に表わすことにすると、図-3におけるケーブルの i 處および i' 處のたわみはつぎのようになる。

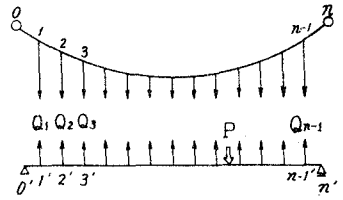


図-3

$$\bar{S}_i = u_{i1} Q_1 + u_{i2} Q_2 + \dots + u_{i, n-1} Q_{n-1} \text{-----}(18)$$

$$S_{i'} = S_{i'P} - (v_{i'1} Q_1 + v_{i'2} Q_2 + \dots + v_{i', n-1} Q_{n-1}) \text{-----}(19)$$

$$\text{ここに、} \bar{S}_i = S_i \text{-----}(20)$$

一般に、吊杖力 Q によるケーブルのたわみを \bar{S}_Q 、Q による補剛桁の上方変位を \bar{S}_Q 、活荷重 P による補剛桁のたわみを S_P とおけば、式(20)はつぎのように表わされる。

$$\bar{S}_Q + \bar{S}_Q = S_P \text{-----}(21)$$

式(21)を格点番号順に配列すると、つぎのような1次方程式を得ることができる。

$$[U+V]\{Q\} = \{S\} \text{-----}(22)$$

ここに

$$[U+V] = \begin{pmatrix} (u_{11} + v_{11}) & (u_{12} + v_{12}) & \dots & (u_{1, n-1} + v_{1, n-1}) \\ (u_{21} + v_{21}) & (u_{22} + v_{22}) & \dots & (u_{2, n-1} + v_{2, n-1}) \\ \dots & \dots & \dots & \dots \\ (u_{n-1, 1} + v_{n-1, 1}) & (u_{n-1, 2} + v_{n-1, 2}) & \dots & (u_{n-1, n-1} + v_{n-1, n-1}) \end{pmatrix} \text{-----}(23), \{Q\} = \begin{pmatrix} Q_1 \\ Q_2 \\ \dots \\ Q_{n-1} \end{pmatrix} \text{-----}(24), \{S_P\} = \begin{pmatrix} S_{1P} \\ S_{2P} \\ \dots \\ S_{n-1P} \end{pmatrix} \text{-----}(25)$$

吊杖力 {Q} が求まると、補剛桁の曲げモーメント、せん断力、たわみ、たわみ角等はすべて単純は

りまたは連続はりには、活荷重Pおよび吊枚力Qが作用したものととして簡単に求めることができる。

静定系において、活荷重Pによる補剛桁の曲げモーメント、せん断力、たわみ、たわみ角をそれぞれ $[M_P]$ $[S_P]$ $[S_P']$ $[L_P]$ とおき、またそれらの断面量の影響線マトリックスを $[M_0]$ $[S_0]$ $[S_0']$ $[L_0]$ とおけば、断面量はつぎのように表わすことができる。

$$[M] = [M_P] - [M_0][Q] \text{-----} (26), \quad [S] = [S_P] - [S_0][Q] \text{-----} (27),$$

$$[S'] = [S_P'] - [S_0'] [Q] \text{-----} (28), \quad [L] = [L_P] - [L_0][Q] \text{-----} (29),$$

4. 温度変化の影響

まず、ケーブルの各格点を固定して考えると Cable Element に温度変化による軸力を生じ、これが外力として格点に作用する。この点に作用する外力はつぎのようになる。

$$\Delta X_t = \Delta T_{i+1} \cos \theta_{i+1} - \Delta T_i \cos \theta_i \text{-----} (30)$$

$$\Delta Y_t = \Delta T_{i+1} \sin \theta_{i+1} - \Delta T_i \sin \theta_i \text{-----} (31)$$

ケーブルの膨張係数を α 、温度変化を Δt とすれば $\Delta T = AE\alpha\Delta t$ ----- (32)

$$\text{したがって式(30),(31)は、} \quad \Delta X_t = AE\alpha\Delta t \left\{ (x_{i+1} - x_i)/l_{i+1} - (x_i - x_{i-1})/l_i \right\} \text{-----} (33),$$

$$\Delta Y_t = AE\alpha\Delta t \left\{ (y_{i+1} - y_i)/l_{i+1} - (y_i - y_{i-1})/l_i \right\} \text{-----} (34),$$

式(33),(34)を式(14),(15)に代入してケーブルの変位 $(\Delta X_t, \Delta Y_t)$ を求める。この場合も ΔX_t の影響を無視して ΔY_t を荷重項として取扱う。すなわち $S_t = \Delta Y_t$ ----- (35)

吊枚が存在しない場合はケーブルが ΔY_t だけ変位するのであるが、補剛桁がそれに抵抗して吊枚力 Q_t を生ずる。吊枚力 Q_t によるケーブルおよび補剛桁の変位をそれぞれ S_{0t} および \bar{S}_{0t} とおけば、式(21)と同様にして、つぎのような関係式が得られる。 $S_{0t} + \bar{S}_{0t} = S_t$ ----- (36)

これが温度変化時における吊構の方程式である。

5. 計算例

本法を用いて、つぎに示す諸条件によって曲げモーメントを計算した結果は図-5に示したとおりである。同図には比較のため、有限変位理論によって求めた結果を併記したが、本法の結果は負の領域の一部を除いて差異のない良好な値を得た。なお、使用した電子計算機はIBM 7044型である。

6. ちすび

数値計算の結果からわかるように、有限変位理論とほとんど差異がない。今後、補剛桁が連続構造、不等断面構造または斜吊構造のケースについて、本法の有利性を研究していきたい。

設計条件

ケーブル支間 508.0 m	ケーブル断面 $AE 3.819 \times 10^4 t$
補剛桁の支間 500.0 m	補剛桁 $ET 2.3625 \times 10^2 t$
ケーブルサグ 40.0 m	死荷重強度 $10.75 t/m$

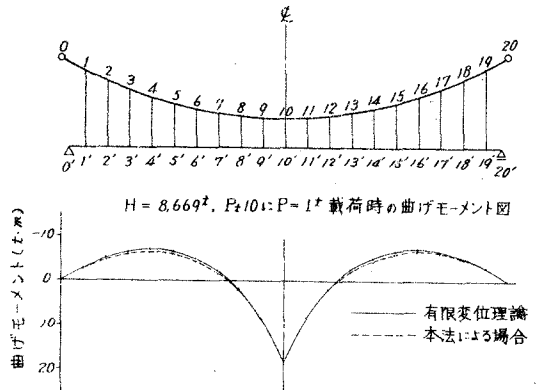


図-5